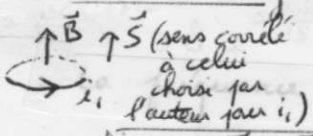


1.1. La fréquence du courant induit sera celle de  $i_0$ .  
 Loi de Lenz ; le sens du courant induit est tel qu'il s'oppose à la variation du flux de  $\vec{B}$ . Si  $i_0$  croît,  $B$  croît et le flux de  $B$  à travers la plaque croît. Le courant induit dans la plaque doit donc créer un champ  $B_i$  opposé. le sens du courant induit sera alors opposé à  $i_0$ . Par contre si  $i_0$  décroît, le sens du courant induit sera celui de  $i_0$ .



1.2.1  $\vec{v} = \vec{\Omega} \wedge \vec{ON}$  car  $\vec{v} = r\Omega \vec{u}_\theta$  avec  $\vec{u}_\theta = -\sin\theta \vec{e}_x + \cos\theta \vec{e}_y$  et  $r\sin\theta = y$ ;  $r\cos\theta = x$   $\vec{v} = \Omega \vec{e}_z$   
 $\vec{v} = r\Omega (-\sin\theta \vec{e}_x + \cos\theta \vec{e}_y) = \Omega (-y \vec{e}_x + x \vec{e}_y) = \Omega \vec{e}_z \wedge (x \vec{e}_x + y \vec{e}_y) = \vec{\Omega} \wedge \vec{ON}$

2.  $\vec{j} = ne \vec{v} = ne \vec{\Omega} \wedge \vec{ON} = ne \Omega (z) (-y \vec{e}_x + x \vec{e}_y)$  (e algébrique)

3.  $\frac{\partial j_x}{\partial x} = 0 \rightarrow \frac{\partial^2 j_x}{\partial x^2} = 0$   $\frac{\partial j_x}{\partial y} = -ne \Omega (z) \rightarrow \frac{\partial^2 j_x}{\partial y^2} = 0$   
 $\frac{\partial j_y}{\partial x} = ne \Omega (z) \rightarrow \frac{\partial^2 j_y}{\partial x^2} = 0$   $\frac{\partial j_y}{\partial y} = 0 \rightarrow \frac{\partial^2 j_y}{\partial y^2} = 0$

1.3.1.  $\vec{j} = \gamma \vec{E}$

2.  $\text{div } \vec{E} = \frac{\rho}{\epsilon_0}$   $\text{div } \vec{B} = 0$   $\text{rot } \vec{E} = -\frac{\partial \vec{B}}{\partial t}$   $\text{rot } \vec{B} = \mu (\vec{j} + \epsilon_0 \frac{\partial \vec{E}}{\partial t})$

3.  $\text{div}(\text{rot } \vec{B}) = 0 \rightarrow \text{div } \vec{j} + \epsilon_0 \frac{\partial}{\partial t} \left( \frac{\rho}{\epsilon_0} \right) = 0 \rightarrow \text{div } \vec{j} + \frac{\partial \rho}{\partial t} = 0$

4.  $\text{div } \vec{j} = \text{div}(\gamma \vec{E}) = \gamma \text{div } \vec{E} = \gamma \frac{\rho}{\epsilon_0} \rightarrow \gamma \frac{\rho}{\epsilon_0} + \frac{\partial \rho}{\partial t} = 0 \rightarrow \rho = \rho_0 e^{-\frac{\gamma}{\epsilon_0} t}$

AN  $\frac{\gamma}{\epsilon_0} = \frac{10^6 \cdot 36\pi \cdot 10^9}{\epsilon_0} \approx 10^{17} \Rightarrow$  au bout de  $\tau \sim 10^{-17}$  s on a  $\rho \approx \rho_0 e^{-1}$

Il faut que  $\rho$  décroisse très vite par rapport aux variations temporelles de  $\vec{B}$  donc il faut une période  $T$  de  $B$  suffisante, telle que  $T > \tau$  donc une fréquence  $f < \frac{1}{\tau}$ .

Ainsi le conducteur est neutre pour des fréquences du champ  $< 10^{17}$  Hz

$\rightarrow \text{div } \vec{E} = 0$

5. courants de déplacement :  $j_D = \epsilon_0 \frac{\partial E}{\partial t} = \epsilon_0 \omega E$   $\Rightarrow \frac{j_D}{j} = \frac{\epsilon_0 \omega}{\gamma}$   
 courants de conduction :  $j = \gamma E$

AN  $\frac{j_D}{j} \sim \frac{1 \cdot 2\pi \cdot 25 \cdot 10^3}{36\pi \cdot 10^9 \cdot 10^6} \sim 10^{-12} \ll 1 \rightarrow \text{rot } \vec{B} \approx \mu \vec{j}$

6.  $\text{rot } \vec{B} = \mu \vec{j}$   
 $\text{rot } \vec{E} = -\frac{\partial \vec{B}}{\partial t} \rightarrow \text{rot } \frac{\vec{j}}{\gamma} = -i\omega \vec{B}$

$\text{rot}(\text{rot } \frac{\vec{j}}{\gamma}) = \text{rot}(-i\gamma\omega \vec{B})$   
 $\text{grad } \text{div } \frac{\vec{j}}{\gamma} - \Delta \frac{\vec{j}}{\gamma} = -i\gamma\omega \mu \vec{j} \rightarrow \Delta \frac{\vec{j}}{\gamma} = i\gamma\omega \mu \frac{\vec{j}}{\gamma}$   
 $\text{div } \frac{\vec{j}}{\gamma} = 0$  (ég. cons. charge)

1.4.  $\Delta \frac{\vec{j}}{\gamma} = \left( \frac{\partial^2 j_x}{\partial x^2} + \frac{\partial^2 j_x}{\partial y^2} + \frac{\partial^2 j_x}{\partial z^2} \right) \vec{e}_x + \left( \frac{\partial^2 j_y}{\partial x^2} + \frac{\partial^2 j_y}{\partial y^2} + \frac{\partial^2 j_y}{\partial z^2} \right) \vec{e}_y$  ( $j_z = 0$ )  
 f 1.2.3  $\rightarrow = 0$   $\rightarrow = 0$   $\rightarrow = 0$

1.3.6  $\Delta \vec{J} = i\gamma\omega\mu \vec{J} \Rightarrow \boxed{\frac{\partial^2 \underline{J}_x}{\partial z^2} = i\gamma\omega\mu \underline{J}_x}$  et  $\boxed{\frac{\partial^2 \underline{J}_y}{\partial z^2} = i\gamma\omega\mu \underline{J}_y}$  (2)

1.5 résolution :  $\frac{\partial^2 \underline{J}_x}{\partial z^2} = (1+i)^2 \left(\frac{\gamma\omega\mu}{2}\right)^2 \underline{J}_x \rightarrow \underline{J}_x = A_x e^{(1+i)\sqrt{\frac{\gamma\omega\mu}{2}}z} + B_x e^{-(1+i)\sqrt{\frac{\gamma\omega\mu}{2}}z}$   
 de m  $\underline{J}_y = A_y + B_y$

1.6  $\delta = \sqrt{\frac{2}{\gamma\omega\mu}}$  épaisseur de peau ou profondeur de pénétration

$\omega = 2\pi f$   
 $\mu = \mu_0 \mu_r$   
 $\delta = \frac{1}{\sqrt{\gamma\mu f}} \cdot \frac{1}{\sqrt{\pi\mu_0}}$  A.N  $\frac{1}{\sqrt{\pi\mu_0}} = \frac{1}{\sqrt{4\pi \cdot 10^{-7}}} = \frac{1}{2\pi \cdot 10^{-3} \sqrt{0,1}} = 503,3$

$\rightarrow \delta = \frac{503,3}{\sqrt{\mu_r f}}$

1.7.a.  $\delta = \frac{503,3}{\sqrt{10^6 \cdot 1 \cdot 25000}} = 3,18 \text{ mm}$  pour l'amagnétique

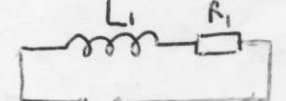
$\delta = \frac{503,3}{\sqrt{10^6 \cdot 5 \cdot 350 \cdot 25000}} = 0,076 \text{ mm}$  pour le magnétique

b. Plaque d'épaisseur  $e = 10 \text{ mm} \rightarrow \frac{\delta}{e} = \frac{3}{10} < 1$  pour l'amagnétique : exp  $\frac{10}{3} \sim 3\%$   
 $\frac{\delta}{e} \ll 1$  pour le magnétique

c. Comme on peut considérer  $z \rightarrow \infty$  on ne peut pas avoir de  $J \rightarrow \infty$  donc  
 $A_x = 0 = A_y \rightarrow \underline{J}_x = B_x e^{-(1+i)\frac{z}{\delta}}$   $\underline{J}_y = B_y e^{-(1+i)\frac{z}{\delta}}$

1.8.  $\vec{J} = (B_x \vec{e}_x + B_y \vec{e}_y) e^{-(1+i)\frac{z}{\delta} + i\omega t} = (B_x \vec{e}_x + B_y \vec{e}_y) e^{-\frac{z}{\delta}} e^{i(\omega t - \frac{z}{\delta})}$   
 $|\vec{J}| = \sqrt{B_x^2 + B_y^2} e^{-\frac{z}{\delta}} = J_0 e^{-\frac{z}{\delta}}$

2.1.1.  $R_1 = \rho \frac{l}{S} = \frac{l}{\gamma S} = \frac{20 \times 2\pi \times 0,05}{55,5 \cdot 10^6 \times \frac{\pi}{2} \times 4 \cdot 10^{-6}} = 1,8 \cdot 10^{-2} \Omega$   
 ← rayon moyen  
 \*section de cuivre = 1/2 section du fil"

2.1.2.   
 $\underline{e} = \underline{Z} \underline{i} = (jL_1\omega + R_1) \underline{i} \Rightarrow E_e = \sqrt{L_1^2 4\pi^2 f^2 + R_1^2} I_e$   
 BF  $\rightarrow L_1 = \sqrt{\frac{E_e^2 - R_1^2 I_e^2}{4\pi^2 f^2 I_e^2}} = \sqrt{\frac{24^2 - 1,8^2 \cdot 10^{-4} \cdot 5,1^2}{4\pi^2 \cdot 25^2 \cdot 10^6 \cdot 5,1^2}} = \frac{E_e}{2\pi f I_e} = \frac{24}{2\pi \cdot 25 \cdot 10^3 \cdot 5,1} = 0,03 \text{ mH}$

2.2.1.  $R_2 = \frac{l}{\gamma S} = \frac{2\pi r}{8 \cdot 2r\delta} = \frac{\pi}{4\delta} = \frac{\pi}{5 \cdot 10^6 \cdot 76 \cdot 10^{-6}} = 8,3 \text{ m}\Omega$

2. formule de l'énoncé :  $L_2 = \mu_0 r \left[ \ln\left(\frac{8r}{\rho}\right) - \frac{7}{4} \right] = 4\pi \cdot 10^{-7} \cdot 5 \cdot 10^{-2} \left[ \ln\left(\frac{8 \cdot 5 \cdot 10^{-2}}{\sqrt{\frac{2 \cdot 0,05 \times 76 \cdot 10^{-6}}{\pi}}}\right) - \frac{7}{4} \right] = 0,239 \mu\text{H}$   
 $S = 2r\delta = \pi \rho^2 \rightarrow \rho = \sqrt{\frac{2r\delta}{\pi}}$

3.  $\frac{R_2^2}{(L_2\omega)^2} \leq 0,05 \Leftrightarrow \frac{R_2^2}{0,05 L_2^2} < 4\pi^2 f^2 \Leftrightarrow f \geq \frac{R_2}{2\pi \sqrt{0,05} L_2} \Leftrightarrow f \geq \frac{8,3 \cdot 10^{-3}}{2\pi \sqrt{0,05} \cdot 0,239 \cdot 10^{-6}} \Rightarrow f \geq 24718 \text{ Hz}$   
 OK pour  $f = 25000 \text{ Hz}$